

## К УСТОИЧИВОСТИ УПРУГОЙ И ВЯЗКОУПРУГОЙ АНИЗОТРОПНОЙ МНОГОСЛОЙНОЙ ПЛАСТИНКИ

МОВСИСЯН Л. А.

Существуют различные способы составления многослойных сред [1—3] и др. При решении конкретных задач в большинстве своем рассматривается такой пакет, чтобы главные направления упругости (если композит, то направления армирования) совпадали с координатными осями. Это имеет то преимущество, что задачи решаются сравнительно просто. Но, наилучшее ли это расположение? Как решать задачу в общем случае? Что понимать под наилучшим для упругой и вязкоупругой задач. Некоторые аспекты этих вопросов будут обсуждены в настоящей работе.

1. Пусть имеется вязкоупругий ортотропный материал (например, армированный композит на полимерной основе) с операторами вязкоупругости  $\tilde{A}_{ij} = A_{ij} - \Gamma_{ij}$ . Создается многослойная пластинка из  $2k$  слоев общей толщиной  $2h$  следующим образом:  $k$ -ые слои в обоих направлениях относительно срединной плоскости имеют одинаковую толщину  $h_k$  (геометрическая симметрия) и слои повернуты друг относительно друга на некоторый угол в их плоскости. Причем рассматриваются два случая:

а)  $k$ -ые слои в обе стороны от срединной плоскости относительно координатных осей  $Ox$ ,  $Oy$  повернуты на один и тот же угол  $\varphi_k$ ;

б) в одном направлении от срединной плоскости, если  $k$ -ый слой повернут на  $\varphi_k$ , то в другом направлении соответствующий слой повернут на  $-\varphi_k$ .

В первом случае пакет многослойной пластинки назовем симметричным, а во втором — антисимметричным.

В системе координат  $(xy)$  определяющие уравнения для  $k$ ого слоя записутся в виде

$$\tau_i^{(k)} = \tilde{B}_{ij}^{(k)} e_j \quad (1.1)$$

где формулы пересчета новых операторов через  $\tilde{A}_{ij}$  выразятся следующим образом:

$$\tilde{B}_{11}^{(k)} = \tilde{A} + \tilde{B} \cos 2\varphi_k + \tilde{C} \cos^2 2\varphi_k$$

$$\tilde{B}_{22}^{(k)} = \tilde{A} - \tilde{B} \cos 2\varphi_k + \tilde{C} \cos^2 2\varphi_k$$

$$\tilde{B}_{12}^{(k)} = \bar{B}_{12} + 2\bar{B}_{66} = \tilde{D} - 3\bar{C}\cos^2 2\varphi_k$$

$$\tilde{B}_{16}^{(k)} = \left( \frac{1}{2} \tilde{B} + \bar{C}\cos 2\varphi_k \right) \sin 2\varphi_k$$

(1.2)

$$\tilde{B}_{26}^{(k)} = \left( \frac{1}{2} \tilde{B} - \bar{C}\cos 2\varphi_k \right) \sin 2\varphi_k$$

$$\tilde{B}_{ij}^{(k)} = B_{ij}^{(k)} - R_{ij}^{*(k)}, \quad \tilde{A} = \frac{1}{4} (\tilde{A}_{11} + \tilde{A}_{22} + 2\tilde{A}_3)$$

$$\tilde{B} = \frac{1}{2} (\tilde{A}_{11} - \tilde{A}_{22}), \quad \bar{C} = \frac{1}{4} (\tilde{A}_{11} + \tilde{A}_{22} - 2\tilde{A}_3)$$

$$D = \frac{1}{4} [3(\tilde{A}_{11} + \tilde{A}_{22}) - 2\tilde{A}_3], \quad \tilde{A}_3 = \tilde{A}_{11} + 2\tilde{A}_{66}$$

Принимая гипотезу прямых нормалей для усилий и моментов, будем иметь:

$$\begin{aligned} T_x &= \bar{C}_{11}\varepsilon_1 + \bar{C}_{12}\varepsilon_2 + \bar{C}_{16}\varepsilon_{12}, & M_x &= \bar{D}_{11}\gamma_1 + \bar{D}_{12}\gamma_2 + \bar{D}_{16}\gamma_{12} \\ T_y &= \bar{C}_{12}\varepsilon_1 + \bar{C}_{22}\varepsilon_2 + \bar{C}_{26}\varepsilon_{12}, & M_y &= \bar{D}_{12}\gamma_1 + \bar{D}_{22}\gamma_2 + \bar{D}_{26}\gamma_{12} \\ T_{xy} &= \bar{C}_{16}\varepsilon_1 + \bar{C}_{26}\varepsilon_2 + \bar{C}_{66}\varepsilon_{12}, & M_{xy} &= \bar{D}_{16}\gamma_1 + \bar{D}_{26}\gamma_2 + \bar{D}_{66}\gamma_{12} \end{aligned} \quad (1.3)$$

в симметричном случае, и

$$\begin{aligned} T_x &= \tilde{C}_{11}\tilde{\varepsilon}_1 + \tilde{C}_{12}\tilde{\varepsilon}_2 + \tilde{K}_{16}\gamma_{12}, & M_x &= \tilde{D}_{11}\gamma_1 + \tilde{D}_{12}\gamma_2 + \tilde{K}_{16}\varepsilon_{12} \\ T_y &= \tilde{C}_{12}\tilde{\varepsilon}_1 + \tilde{C}_{22}\tilde{\varepsilon}_2 + \tilde{K}_{26}\gamma_{12}, & M_y &= \tilde{D}_{12}\gamma_1 + \tilde{D}_{22}\gamma_2 + \tilde{K}_{26}\varepsilon_{12} \\ T_{xy} &= \tilde{C}_{16}\tilde{\varepsilon}_1 + \tilde{K}_{16}\gamma_1 + \tilde{K}_{26}\gamma_2, & M_{xy} &= \tilde{D}_{16}\gamma_{12} + \tilde{K}_{16}\varepsilon_1 + \tilde{K}_{26}\varepsilon_2 \end{aligned} \quad (1.4)$$

в антисимметричном случае.

Приведенные жесткости определяются формулами

$$\begin{aligned} \tilde{C}_{ij} &= 2 \sum_{k=1}^n \tilde{B}_{ij}^{(k)} (h_k - h_{k-1}), \quad \tilde{K}_{ij} = \sum_{k=1}^n \tilde{B}_{ij}^{(k)} (h_k^2 - h_{k-1}^2) \\ \tilde{D}_{ij} &= \frac{2}{3} \sum_{k=1}^n \tilde{B}_{ij}^{(k)} (h_k^3 - h_{k-1}^3) \end{aligned} \quad (1.5)$$

$h_k - h_{k-1}$  — толщина  $k$ -того слоя,  $h_0 = h$ , а компоненты деформации

$$\begin{aligned} \varepsilon_1 &= \frac{\partial u}{\partial x}, \quad \varepsilon_2 = \frac{\partial v}{\partial y}, \quad \varepsilon_{12} = \frac{\partial u}{\partial y} + \frac{\partial v}{\partial x} \\ z_1 &= -\frac{\partial^2 w}{\partial x^2}, \quad z_2 = -\frac{\partial^2 w}{\partial y^2}, \quad z_{12} = -2 \frac{\partial^2 w}{\partial x \partial y} \end{aligned} \quad (1.6)$$

где  $u$ ,  $v$ ,  $w$  — компоненты перемещения соответственно по направлениям  $x$ ,  $y$  и  $z$ .

К системам (1.3)–(1.6) должны быть присоединены уравнения устойчивости, которые в общем случае будут иметь вид

$$\frac{\partial T_x}{\partial x} + \frac{\partial T_{xy}}{\partial y} = 0, \quad \frac{\partial T_{xy}}{\partial x} + \frac{\partial T_y}{\partial y} = 0 \quad (1.7)$$

$$\frac{\partial^2 M_x}{\partial x^2} + 2 \frac{\partial^2 M_{xy}}{\partial x \partial y} + \frac{\partial^2 M_y}{\partial y^2} - T_x^0 \frac{\partial^2 w}{\partial x^2} - T_y^0 \frac{\partial^2 w}{\partial y^2} - 2T_{xy}^0 \frac{\partial^2 w}{\partial x \partial y} = 0$$

Как видно из (1.3)–(1.7), в симметричном случае (1.7) распадается на отдельные системы, так что уравнение устойчивости является только третье уравнение из этой системы, в то время как при антисимметричном случае уравнения связаны, то есть плоская задача и изгиб возмущенного состояния взаимосвязаны.

Какой из пакетов лучше—симметричный или антисимметричный? Как повернуть слои друг относительно друга и какие брать толщины, чтобы критическое усилие было наибольшим? В последующих трех пунктах рассматриваются упругие задачи.

2. Предположим, что начальное напряженное состояние прямоугольной пластинки осуществляется следующим образом: один край неподвижен, на другом задано перемещение, то есть  $u_0 = 0$  при  $x = 0$  и  $u_0 = -C$  при  $x = a$ . Тогда  $T_x^0 = -C_{11} \frac{C}{a} = P$ ,  $T_y^0 = -C_{11} \frac{C}{a}$ ,  $T_{xy}^0 = 0$ .

Если подставить (1.4) и (1.6) в (1.7), то полученная система относительно перемещений для прямоугольной пластинки допускает разделения переменных при граничных условиях:  $u = T_{xy} = w = M_x = 0$  при  $x = 0$ ,  $x = a$  и  $v = T_{xy} = w = M_y = 0$  при  $y = 0$ ,  $y = b$ . При этом для критической силы получается выражение (из-за громоздкости не приводится), которое в основном имеет характерные черты задачи цилиндрического изгиба. Поэтому приведем выражение критической нагрузки последней задачи:

$$P_{kp} = D_{11} \left( 1 - \frac{K_{16}^2}{C_{11} C_{66}} \right)^{\frac{n^2}{2}} \quad (2.1)$$

Отсюда видно, что если формально принять  $K_{16} = 0$ , то значение критического усилия увеличится, то есть пренебрежение влиянием плоской задачи на изгиб приводит к увеличению критической нагрузки, причем разница может быть очень существенной. Например, для материала (4.3), при  $n = 1$  второе слагаемое равно 0,5285 при  $\varphi = 30^\circ$  и 0,4423—при  $\varphi = 45^\circ$ . Такой же качественный результат получен и в [4], но там взаимноперпендикулярно-армированные слои располагаются по координатным осям и коэффициенты взаимодействия изгиба и плоской задачи  $K_{11}$ ,  $K_{12}$ ,  $K_{22}$  помняются от антисимметричности и нерегулярности расположения слоев.

3. В случае симметричного пакета плоская задача и изгиб рас-

падаются и в уравнении устойчивости перемещения  $u$  и  $v$  не участвуют. При одноосном сжатии по  $x$  интенсивностью  $P$  имеем

$$D_{11} \frac{\partial^4 w}{\partial x^4} + 4D_{16} \frac{\partial^4 w}{\partial x^3 \partial y} + 2(D_{12} + 2D_{66}) \frac{\partial^4 w}{\partial x^2 \partial y^2} + \\ + 4D_{26} \frac{\partial^4 w}{\partial x \partial y^3} + D_{22} \frac{\partial^4 w}{\partial y^4} + P \frac{\partial^2 w}{\partial x^2} = 0 \quad (3.1)$$

Прежде чем решить уравнение (3.1) в общем случае, рассмотрим один частный, но важный, случай.

Наличие коэффициентов  $D_{16}$  не позволяет разделения переменных уравнений (3.1). Рассмотрим такой вопрос. Нельзя ли расположить слои так, чтобы коэффициенты  $D_{16}$  и  $D_{26}$  обратились в нули? Среди армированных композитов есть один класс, когда  $A_{11}=A_{22}$  (так будет, например, если в взаимно перпендикулярных направлениях число волокон одинаковые). Тогда, для того, чтобы  $D_{16}$  равнялись нулю, достаточно слои расположить следующим образом ( $D_{16}=0$ , когда  $A_{11}=A_3=0$ , но это очень частный случай)

$$\sum_{k=1}^n \delta_k (1 - \lambda_k) \sin 4\varphi_k = 0, \quad \tau_h = (h_k/h_n)^3, \quad \lambda_k = (h_{k-1}/h_k)^3 \quad (3.2)$$

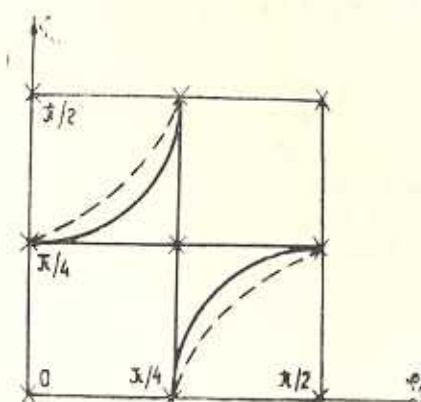
В  $n$ -мерном пространстве решение (3.2) дает поверхность. Значения  $\varphi_k$ , взятые на этой поверхности, обеспечивают условия  $D_{16}=0$ .

Для наглядности рассмотрим случай  $n=2$ . Тогда уравнение (3.2) превращается в

$$\sin 4\varphi_1 + \gamma \sin 4\varphi_2 = 0 \quad (3.3)$$

где параметр  $\gamma$  характеризует отношение толщин слоев.

На плоскости  $(\varphi_1, \varphi_2)$  кроме точек вершин квадрата  $\pi/2 \times \pi/2$ , решением уравнения (3.2) будут сплошные кривые и точка  $(\pi/4, \pi/4)$  (фиг. 1).



Фиг. 1.

При отсутствии  $D_{16}$  для шарнирно опертой пластинки минимальная критическая нагрузка достигается при  $a/b=m$  ( $m=1, 2, \dots$ ) и она равна [1]

$$P_{kp} = \frac{2\pi^2}{b^2} (D_{11} + D_3) \quad (3.4)$$

Здесь и в дальнейшем имеется в виду значение критической нагрузки, которое имеет минимум по  $a/b$  и максимум по  $\varphi_k$ .

Кстати, для антисимметричного пакета слои можно расположить так, чтобы  $K_{16}=0$ . При тех же  $h_k$ , что в предыдущем, уравнение будет вида (3.3), но с новым  $\gamma$  (заштрихованные кривые фиг. 1).

Если в выражение (3.4) подставить (1.2) (упругие части) с учетом (3.3), можно показать, что точки, отмеченные крестиками на фиг. 1, являются стационарными точками. Причем:

а) если  $A_{11} > A_3$ , то (3.4) достигает абсолютного максимума в точке  $(\pi/4, \pi/4)$ , а на вершинах квадрата достигает минимума.

б) если же  $A_{11} < A_3$ , то в точках  $(\pi/4, \pi/4)$   $P_{kp}$  достигает минимума.

В дальнейшем покажем, что это будет иметь место и в общем случае.

Итак, наибольшая и наименьшая критические нагрузки в случае а) определяются формулами

$$P_{kp}^{(\max)} = \frac{8\pi^2 h^3}{3b^2} A_{11}, \quad P_{kp}^{(\min)} = \frac{4\pi^2 h^3}{3b^2} (A_{11} + A_3) \quad (3.5)$$

В случае б) будет наоборот.

Таким образом, максимальная и минимальная критические нагрузки получаются для однослой, то есть если слои не повернуты относительно друг друга и в зависимости от упругих постоянных, главные направления упругости (направление армирования) или совпадают с координатными осями, или составляет  $45^\circ$ .

Когда же  $A_{11} \neq A_{22}$ , то нельзя расположить слои так, чтобы одновременно  $D_{16}$  и  $D_{26}$  обратились в нули кроме случая (точки вершин квадрата фиг. 1), когда главные направления упругости совпадают с координатными линиями. Однако и здесь можно выбором толщины слоев добиться наибольшей критической нагрузки среди этих четырех возможных случаев ( $n=2$ ). Если значение минимальной критической нагрузки при  $\varphi_1=\varphi_2=0$  (или  $\pi/2$ ) есть

$$P_{kp} = \frac{4\pi^2 h^3}{3b^2} \left( \sqrt{A_{11} A_{22}} + A_3 \right) \text{ при } \frac{a}{b} = m \sqrt{\frac{A_{11}}{A_{22}}} \quad (3.6)$$

то для  $\varphi_1=0$  и  $\varphi_2=\pi/2$  максимальное значение минимальной критической нагрузки получается при  $h_1/h_2=1/\sqrt{2}$  и оно равно

$$P_{kp} = \frac{4\pi^2 h^3}{3b^2} \left[ \frac{1}{2} (A_{11} + A_{22}) + A_3 \right] \text{ при } \frac{a}{b} = m \sqrt{\frac{D_{11}}{D_{22}}} \quad (3.7)$$

4. Теперь перейдем к рассмотрению общего случая, когда  $D_{16} \neq 0$ . В [5] такая задача решена на основе метода малого параметра, в качестве которого берется  $D_{16}^2/D_{11}D_{22}$ . Здесь выбран отличный от [5] путь. В случае, когда все стороны пластинки оперты ( $w=M_x=0$  при  $x=0, x=a, w=M_y=0$  при  $y=0, y=b$ ), то неизвестные функции можно брать в виде рядов

$$w = \sum_{m,n} a_{mn} \sin \alpha_m x \sin \beta_n y, \quad M_x = \sum_{m,n} b_{mn} \sin \alpha_m x \sin \beta_n y \quad (4.1)$$

$$M_y = \sum_{m,n} c_{mn} \sin \alpha_m x \sin \beta_n y, \quad \alpha_m = \frac{m\pi}{a}, \quad \beta_n = \frac{n\pi}{b}$$

которые удовлетворяют граничным условиям. Подставляя (4.1) в (1.3), (1.6) и в третье уравнение (1.7), при этом представляя

$$M_{xy} = \sum_{m,n} d_{mn} \cos \alpha_m x \cos \beta_n y$$

и учитывая

$$\cos \alpha_m x \cos \beta_n y = \sum_{p,q} \varphi_{mpq} \sin \alpha_p x \sin \beta_q y$$

$$\varphi_{mpq} = \frac{4(-1)^{m+n+p+q}}{ab} \frac{mnpq}{(m^2-p^2)(n^2-q^2)}, \quad m \neq p, \quad n \neq q$$

в окончательном виде для  $a_{mn}$  получим систему

$$\Omega_{mn} a_{mn} = \sum_{p,q} e_{mpq} a_{pq} \quad (4.2)$$

где

$$\Omega_{mn} = D_{11} \alpha_m^4 + 2D_2 \alpha_m^2 \beta_m^2 + D_{22} \beta_m^4 - P x_m^2$$

$$e_{mpq} = 2[D_{16}(\gamma_m^2 + \gamma_p^2) + D_{26}(\beta_m^2 + \beta_q^2)] \varphi_{mpq}$$

Критическая нагрузка определяется как наименьшее собственное значение матрицы системы (4.2).

В качестве примера взята квадратная пластина ( $a=b$ ) с толщинами слоев  $h_2=2h_1=h$ ; материал пластины есть боропластик [6] с объемной долей наполнителя 0,5:

$$E_1 = 201 \text{ ГПа}, \quad G = 5,4 \text{ ГПа} \quad (4.3)$$

$$E_2 = 21,7 \text{ ГПа}, \quad \mu_{12} = 0,018, \quad \mu_{21} = 0,17$$

В таблице 1 приведены значения критических нагрузок

$$\bar{P}_{kp} = \frac{3a^2}{2\pi^2 h^3} F_{kp} \text{ в ГПа}, \quad \text{вычисленные во втором приближении. Таблица}$$

симметрична относительно  $\varphi_1 = \varphi_2 = 45^\circ$ , поэтому для  $\varphi_k > 45^\circ$  значения  $\bar{P}_{kp}$  не приводятся

Таблица 1

$\varphi_1$	$\varphi_2$	0	$30^\circ$	$45^\circ$
0	0	2015	3008	3350
$30^\circ$	0	2155	3149	3490
$45^\circ$	0	2203	3199	3527

В табл. 2 приведены  $P_{kp}$  для однослоиной пластиинки, вычисленные в трех приближениях:

Таблица 2

$\varphi$	0	30°	45°
I	251,9	427,5	446
II	251,9	423,3	441,3
III	251,9	422,8	440,7

Из табл. 2 видно, как быстро сходится процесс определения критической нагрузки.

Анализ полученных формул и приведенных таблиц показывает:

а) Как и в п. 2, «ортотропное решение» (формальное приравнение  $D_{16}=D_{26}=0$ ) приводит к повышению значения критических нагрузок. Однако здесь разница не такая большая, как в п. 2.

б) Подобно п. 3, если  $A_{11}+A_{22}>2A_3$ , максимальное значение критической нагрузки получается при однослое (все слои повернуты на 45°).

Таким образом, если материал такой, что  $A_{11}+A_{22}>2A_3$ , то наибольшая критическая нагрузка по  $\varphi$  получается, если повернуть главные направления упругости по отношению координатных линий на 45°. Тогда «ортотропное решение» дает формулу

$$P_{kp} = \frac{4\pi^2 h^3}{3b^2} (A_{11} + A_{22}) \quad (4.4)$$

На самом же деле, истинное решение меньше (4.4). Поэтому, если разговор идет об армировании в взаимно перпендикулярных направлениях, то лучше, чтобы  $A_{11}=A_{22}$ . Тогда «ортотропное решение» будет и истинным решением при  $\varphi=45^\circ$  и критическая нагрузка получится наибольшей (3.5) среди возможных ( $A_{11}+A_{22}=\text{const}$ ).

Но здесь необходимо сделать одно замечание. До сих пор разговор шел о минимальной по  $a/b$  критической нагрузке и максимальной по  $\varphi$ . Естественно, что для других  $a/b$  эти выводы могут быть не совсем верными. Например, для малых  $a/b$ , когда потеря устойчивости происходит в виде цилиндрического изгиба, максимальная критическая нагрузка получается для  $\varphi_k$ , при котором наибольшее  $A_{11}$  (для материала (4.3)  $\varphi=0$ ). Однако можно утверждать, что практически уже при  $a/b \geq 1$  вывод относительно формул (3.5) и (4.4) верный.

То что наибольшая критическая нагрузка получается при угле поворота на 45°, можно показать и иначе. Представим, что слои настолько тонкие, что можно принять неоднородность по толщине непрерывной. Тогда в выражении критической нагрузки

$$P_{kp} = \frac{2\pi^2}{b^2} (\sqrt{D_{11}D_{22}} + D_3) \quad (4.5)$$

где в выражениях коэффициентов  $D_{ij}$ , которые определяются по (1.5),

а  $B_{ij}$  по (1.2), можно перейти к пределу и вопрос определения наилучшего расположения слоев сводится определению такой функции  $f(z)$ , которая сообщает максимум функционалу

$$S(f) = \left\{ \left[ \int_0^h (A + Cf^2) z^2 dz \right]^2 - \left[ \int_0^h Bfz^2 dz \right]^2 \right\}^{1/2} + \int_0^h (D - 3Cf^2) z^2 dz \quad (4.6)$$

Можно показать, что в (4.6) максимум достигается при  $f=0$ , то есть при  $\varphi_k=\varphi=45^\circ$ , если  $A_{11}+A_{22}>2A_{12}$ .

5. Как известно, для изотропных вязкоупругих материалов существует понятие критической нагрузки мгновенной и длительной. По аналогии с изотропными материалами для анизотропных материалов также вводится понятие этих двух нагрузок [7]. Если мгновенная критическая нагрузка для ортотропного материала определяется формулой (4.5), то для длительной критической нагрузки в (4.5) нужно заменить  $D_{ij}$  на  $D_{ij}^M$ , где  $D_{ij}^M=D_{ij} \cdot I(t \rightarrow \infty)$ . Однако, следует отметить, что для анизотропных, в частности, для ортотропных пластин помимо этих нагрузок есть еще третья критическая нагрузка. Если пластина ската в своей плоскости (плоская задача — невозмущенное движение) через «бесконечное» долгое время, не все вязкоупругие операторы превратятся в константы. В частности, для ортотропного материала будут константами  $A_{11}^M$ ,  $A_{22}^M$  и  $A_{12}^M$ . Теперь, если такой пластинке сообщить возмущение и рассмотреть устойчивость, то в новой временной шкале будет существовать мгновенная критическая нагрузка, которая определяется формулой

$$D_{kp}^{M,22} = \frac{2\pi^2}{b^2} (\sqrt{I A_{11}^M D_{22}^M} + D_{12}^M + 2D_{66}^M) \quad (5.1)$$

так как оператор  $\bar{D}_{66}$  при невозмущенном состоянии не «работал».

Второе обстоятельство, на которое следует обратить внимание, следующее. Вопрос о наилучшем расположении слоев пластины, который обсуждался в предыдущих пунктах для упругой пластины, имеет смысл, конечно, и для вязкоупругой пластины. Но надо заметить, что то что лучше для упругой стадии работы пластины, может быть вовсе не лучшим для вязкоупругой. Покажем это на частной модели вязкоупругости. Некоторые композиты в направлениях армирования почти не проявляют свойства ползучести, а по отношению касательных напряжений проявляют. Закон напряжения-деформация для таких материалов записывается следующим образом:

$$\tau_x = A_{11}e_x + A_{12}e_y, \quad \sigma_y = A_{11}e_x + A_{22}e_y, \quad \tau_{xy} = A_{66}e_{xy} \quad (5.2)$$

Значение мгновенных критических нагрузок для такой пластины ( $A_{11}=A_{22}$ ) при углах поворота направлений армирования соответственно на  $45^\circ$  и  $0^\circ$  приведены в (3.5). Причем, интересно, что для угла  $\varphi=45^\circ$  длительная нагрузка такая же, что и мгновенная.

Для материала же  $A_3 > A_{11}$ , если для мгновенной устойчивости лучше  $\varphi = 0^\circ$ , то для длительной может оказаться, что  $\varphi = 45^\circ$ . Например, для перекрестно-армированного стеклопластика с данными [6].

$$E_1 = E_2 = 17 \text{ ГПа}, \quad G = 12,5 \text{ ГПа}, \quad \nu_{12} = 0 \quad (5.3)$$

если принять, что длительный модуль сдвига  $G^* = 0,5G$ , то получается

$$P_{\text{кр}}^{\text{ср}} = P_{\text{кр}}^{\text{нр}} = \frac{68\pi^2 h^3}{b^2} \text{ ГПа} \quad \text{при } \varphi = 45^\circ \quad (5.4)$$

$$P_{\text{кр}}^{\text{нр}} = \frac{84\pi^2 h^3}{b^2} \text{ ГПа}, \quad P_{\text{кр}}^{\text{нр}} = \frac{59\pi^2 h^3}{b^2} \text{ ГПа} \quad \text{при } \varphi = 0^\circ$$

Это явление тем более может иметь место и в общем случае вязкоупругости.

Институт механики  
АН Армянской ССР

Поступила в редакцию  
18.V.1989

## ON STABILITY OF ELASTIC AND VISCOELASTIC ANISOTROPIC MULTI-LAYERED PLATE

L. A. MOVSISIAN

ԱՐՄԵՆԻԱՆ ԵՎ ԱԽՈԶԳԱՄԱՐԴԻՑՅԱԿ ԱՆԳՈՆՔԻ ԲԱԶԱՐԱՅԻ  
ՍԱԼԻ ԿՈՏՈՒՆԻԹՅԱՆ ՄԱՍԻՆ

Լ. Ա. ՄՈՎՍԻՍՅԱՆ

Ամփոփում

Դիտարկված է առաձգական և առաձգամածուցիկ բազմաշերտ սալի կայունությունը. Ենթադրվում է, որոնցից յուրաքանչյուրը որոշ անկախություն շրջած է սալի միջին հարթության նկատմամբ, այնպես, որ փաթեթի չամար անիզոտրոպիայի բնորոշությունը գեղագիտական է: Առումնակրկած է շերտերի ու նրանց հաստության այն լավագույն բաշխման հարցը, որի գեղագում կրիտիկական բեռնվածությունն առավելագույնը կլինի:

## ЛИТЕРАТУРА

- Лехницкий С. Г. Анизотропные пластинки. М.: ГИТТЛ, 1957. 463 с.
- Амбарцумян С. А. Общая теория анизотропных оболочек. М.: Наука, 1974. 446 с.
- Кристенсен Р. Введение в механику композитов. М.: Мир, 1982. 334 с.
- Джонс. Устойчивость и колебания прямоугольных несимметричных слоистых пластинок с перекрестным армированием.—Ракетная техника и космонавтика (AIAA Journal), 1973, т. 12, № 12, с. 32—40.
- Саркисян В. С., Мовсисян Л. А. Об одном способе определения критических наг-

- руэок анизотропных пластинок.—Инженерный журнал, 1965, т. V, вып. 4, с. 777—782.
6. Феодосьев В. И. Сопротивление материалов. М.: Наука, 1986, 512 с.
7. Потапов В. Д. Устойчивость вязкоупругих элементов конструкций. М.: Стройиздат, 1986, 312 с.

Институт механики  
АН Армянской ССР

Поступила в редакцию  
11.X.1989